

ОЧЕРК НЕОТЕКТОНИКИ КРЫМА

В. И. Бабак

Содержание. В статье кратко излагаются новые данные по геоморфологии и стратиграфии плиоценовых и четвертичных континентальных отложений Горного Крыма, указывающие на сложную историю развития непрерывных тектонических движений этого района. Делается выводы о постепенном смещении в северном направлении в течение неогена и четвертичного периода области максимальных поднятий Горного Крыма и осей наибольшего прогибания прилегающих с севера впадин о расщепленном сподовом поднятии Крымских гор в процессе его формирования на ряд дифференцированных зон, разделенных участками относительных опусканий.

Благодаря новым работам по геоморфологии и стратиграфии в Крыму прослежено шесть ярусов плиоценовых и четвертичных террас, не считая поверхности денудации более древнего возраста и современных пойменных образований (табл. 1).

Прекрасно выраженная многоярусность рельефа, а также особенности отложений, приуроченных к определенным уровням, позволили построить четкую относительную стратиграфию новейших континентальных отложений Крымского полуострова (табл. 2). Кратко охарактеризуем выделенные горизонты.

Наиболее древние континентальные отложения плиоценового возраста залегают в Степном Крыму на понтических известняках и расчленяются на две толщи.

Нижняя — «таврская свита», по М. В. Муратову [9, 10], — представлена чередованием желтых алевритов и красных глин с включением линз и прослоев галечников, количество которых увеличивается по направлению к Крымским горам. Установлено, что вверх по разрезу количество грубообломочного материала также возрастает. В возрастном отношении таврская свита соответствует киммерийским и куяльницким отложениям, может быть, отчасти верхнему понту.

Верхняя — «николаевская толща» (выделена в районе с. Николаевки) представлена желто-бурыми алевритами и песчаниками, фациально замещающимися мощными галечниками, образующими в области Второй и Третьей гряд Крымских гор наиболее высокую террасу, описанную в районе с. Мангуш Н. И. Николаевым [14]. В пределах Главной гряды этой террасе соответствуют останцы древне-столбчатого эрозионного рельефа. Верхнеплиоценовый возраст ни-

Сопоставление террас, положенных в основу стратиграфических схем различных авторов

М. В. Ауратов—Н. И. Николаев [12]		В. И. Бабак, Крымская экспедиция МГРИ [3]	
временные подразделения	номер пойменной террасы	транстессия Черноморского бассейна	транстессия Черноморского бассейна ²
		Кизильско-Кубанецкая	—
		Джаниская (Гуринская?)	N ₂
		Чаудинская	—
		древнеэзинская	N ₂
		Карантайская	V
		древнеэзинская	Q ₁
		Сурожская (?)	IV
		древнечерноморская	Q ₃
		пойма	II
современная эпоха	1	верхние слои ново-эзинской	II
		высокая и низкая поймы	Q ₄

Таблица 1

колаской толщи устанавливаются по наблюдающимся в восточном Крыму, в междуречье Мокрого Идола и Чурук-Су, взаимоотношениям со с морскими отложениями, охарактеризованными палеонтологически. Эти отложения залегают на морском куяльнике. Погружаясь на северо-восток, в наиболее прогнутой части Индольской впадины, они частично замещаются таманскими слоями, описанными А. Г. Эберзином [18].

Нижнечетвертичные галечники следующей, пятой надпойменной террасы в Степном Крыму срезают или перекрывают различные горизонты плиоценовых и более древних отложений. Погружаясь севернее Агармышского массива, они замещаются песчано-глинистой толщей с прослойками, содержащими морскую чаудинскую фауну, описанную Г. И. Поповым [15]. Аналогичные взаимоотношения наблюдаются на мысе Чауда Керченского полуострова. На Южном берегу Крыма терраса прекрасно прослеживается от Судака на востоке, где впервые описана в виде двух столовых возвышенностей Н. И. Андрусовым [1], до Ялты на западе. С этим уровнем на южном склоне связано широкое развитие грубообломочных обвалочно-оползневых и пролювиальных отложений. В районе Алупки и к западу от нее они имеют преимущественно известняковый состав и известны под названием масандровских брекчий, выделенных М. В. Муратовым [9, 10], который считает их отложениями среднеплиоценового возраста. Однако их геоморфологическое положение и другие данные позволили автору и Н. И. Николаеву говорить о нижнечетвертичном и, по-видимому, отчасти верхнеплиоценовом возрасте масандровских отложений.

Последующие, более молодые и низкие четвертичные террасы сохранились значительно лучше. Они описаны многочисленными исследователями, поэтому на их характеристике можно остановиться менее подробно. Следует подчеркнуть лишь такие важные для обоснования возраста континентальных отложений факты, как впервые отмеченный Н. И. Андрусовым [1] переход отложений третьей надпойменной террасы в морскую караангатскую террасу в окрестностях г. Судака, а также переход первой надпойменной террасы в морскую древне-черноморскую, отложения которой в переуглубленных устьях многих речных долин в свою очередь перекрывают новоэвксинские лиманно-морские отложения.

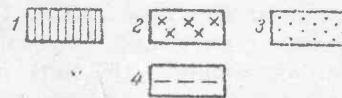
Все эти данные позволяют уверенно сопоставлять эпохи накопления аллювия речных долин Крыма с четвертичными трансгрессиями Черноморского бассейна. Сопоставление континентальных отложений Крыма с ледниками отложениями Европейской части СССР дается нами в соответствии с наблюдениями и выводами Г. И. Попова [15, 16] о взаимоотношениях морских и континентальных отложений в пределах Нижнего Дона и Приманья (табл. 2).

Имеющиеся материалы по геоморфологии и стратиграфии континентальных отложений позволяют наметить основные этапы развития рельефа и неотектоники Крыма. Для некоторых этапов эти данные сведены в виде схематических палеотектонических карт, совмещающих в себе элементы палеогеографии и неотектоники (рис. 1, 2, 3, 4, 5, 6). Определение показанных в изолиниях амплитуд новейших тектонических движений земной коры в области преобладающих поднятий Горного Крыма опиралось на собранный автором фактический материал и, в частности, на изучение деформаций поверхностей выравнивания и террас. Выводы по неотектонике области преобладающих погружений (Степной Крым) основываются главным образом на

Таблица 2

Схема стратиграфии новейших континентальных отложений Крыма

Геологический возраст		Продвижение процессов эрозии и аккумуляции аллювия и обвално-оползневых отложений (горный Крым, ЮБК)		Континентальные отложения Крыма			Фауна млекопитающих
Системы	Отделы	Хронология оледенений по А.И. Москвитину	Межледниковые	Области преобладающих поднятий (Горный Крым, ЮБК)	Области преобладающих опусканий (Нидольская равнина)	Тектонически стабильные области (Перекоп)	
Четвертичная	Современный	Низкая пойма al Qd	Последний нанос al Qd	Современные	суглинки, галечники, суглинки, галечники	лессовидные суглинки	современное почвообразование
				Приморско-поморские	суглинки, галечники		
				Новоэйкиские	глины, галечники	галечники, пески	лессовидные суглинки
				Сурожские (Г. И. Попов)	галечники		
				Карийгатские	галечники, суглинки	суглинки, пески, пески, галечники	погребенные почвы
				Узулпарские			лессовидные суглинки
				Древнезападные	галечники	суглинки, пески, галечники	погребенные почвы
				Чаудийские	галечники, меландринские	суглинки, пески, галечники	суглинки
				Гурийские?	брекчи		
Несогеновая	В. плацион	Осточий?	pl N ³	Тамисские	николаевская толща (пески, галечники)	николаевские галечники и засыпки	
				Куммерийские	таврическая съита	таврическая галька, гравий	
			pl N ²		(зеленая, алевролиты, галечники)	глины и алевролиты	



1 — эрозия; 2 — аккумуляция обвално-оползневых отложений; 3 — аккумуляция аллювиально-пролювиальных отложений; 4 — следы размыва и несогласия

Elephas primigenius Blum.

E. trogontherii Poehl.

E. meridionalis Nestl.

Machairodus (?),
Anancus arvernensis Gr. et Job, *Hippartion* sp.

Hippartion gradille Hens.

Hippartion mediterraneum H. Camerarius sp.

данных бурения и исследований И. Г. Глухова, Г. К. Диккенштейна, Г. А. Лычагина, Е. В. Львовой, З. Д. Маймин, Г. И. Молявко, И. Т. Полякова, Г. И. Попова, Е. А. Рищес, Ф. П. Самсонова, Н. А. Сягаева, А. Г. Эберзина и др.

Основные черты современной тектонической структуры Крыма, охватывающей весьма разнородные элементы Алпийского складчатого пояса и скифской платформы, заложились в конце нижнего мела. Начиная с верхнего альба область Горного Крыма приобретает черты устойчивого поднятия, и морское осадконакопление проявляется только по окраинам этого массива. Однако следы мелового и палеогенового рельефа в Крыму достоверно не установлены.

Наиболее древними элементами рельефа в Крыму являются нижнее и верхнее плато яйлы. Нижнее плато имеет абразионное происхождение и соответствует, по М. В. Муратову и Н. И. Николаеву [12, 13], максимальному развитию тортоно-сарматской трансгрессии. Верхнее плато в нижнем сармате оставалось сушей и отделяется от нижнего плато высоким уступом (150—200 м), представляющим собой древнюю береговую линию. Судя по сохранившимся останцам абразионного плато и положению нижнесарматских морских отложений к северу от Третьей гряды, сарматская условная поверхность в настоящий период представляет обширный асимметричный склон, отражающий результат суммарных последующих деформаций (рис. 1). Наибольшие поднятия за весь последующий период достигают в области Главной гряды 1000—1200 м. В пределах Степного Крыма в общем преобладают слабые поднятия, происходившие с нижнего сармата и до настоящего времени. Однако на фоне поднятий Горного Крыма эта область представляет собой зону относительных опусканий. Интенсивные абсолютные опускания происходили в пределах Индолской впадины.

Плиоценовый рельеф развивался в условиях постепенного высыхания Горного Крыма и опусканий примыкающих впадин.

В среднем плиоцене в Горном Крыму был развит выровненный рельеф (рис. 2). На северном склоне Главной гряды в этот период, по-видимому, были заложены ложбины стока, соответствующие основным речным долинам. Судя по замечанию таврских отложений в долине р. Бузганаха, Третья гряда и, по-видимому, Вторая гряда Крымских гор как элемент рельефа не существовали.

В конце среднего — начале верхнего плиоцена в Горном Крыму происходили интенсивные поднятия, о чем говорит резкое угловое несогласие, разделяющее таврскую свиту и николаевскую толщу, а также мощное продвижение верхнеплиоценовых галечников в область Степного Крыма, где они местами перекрывают морские куяльницкие отложения (рис. 3). В Горном Крыму формировался зрелый эрозионный рельеф с амплитудами до 200—300 м. По Н. И. Николаеву [14], в этот период уже существовала Вторая гряда, которую прорывали крупные ложбины стока.

В конце верхнего плиоцена в Горном Крыму снова возникли интенсивные поднятия и связанное с ними глубокое врезание речных долин (рис. 4). Сравнивая высоту верхнеплиоценовых и нижнечетвертичных террас, можно приблизительно оценить величину суммарных поднятий за этот этап, достигающих в области Главной гряды 250—300 м, т. е. примерно такой же величины, какой достигали поднятия Горного Крыма за весь последующий период времени. В условиях интенсивного эрозионного расщепления на южном склоне Главной гря-

ды и отчасти на северном происходило накопление обвально-опорожненных отложений большой мощности.

В течение всего последующего периода времени интенсивность сводовых поднятий Горного Кавказа постепенно ослабевала. Стационарная высота террас от более древних к молодым уменьшалась. В течение среднечетвертичного, верхнечетвертичного и голоценового этапов



Рис. 1. Схема неотектоники Крыма. Нижний сармат:
1—область предполагаемого положения суши в эпоху максимального распространения нижнесарматской трангрессии; 2—сохранявшиеся остатки суши эпохи максимального распространения нижнесарматской трангрессии (верхнее плато Яйлы); 3—остатки абразионной нижнесарматской поверхности (нижнее плато Яйлы); 4—предполагаемая береговая линия нижнесарматского бассейна; 5—сохранявшиеся участки древнего абразионного уступа; 6—граница современного распространения нижнесарматских морских отложений; 7—предполагаемая граница современного распространения нижнесарматских морских отложений; 8—стратиграфия, построенная по кровле глин нижнего и отчасти среднего сармата (с использованием данных Г. К. Диккенштейна); 9—стратиграфия абразионной сарматской поверхности, построенные по останцам абразионной террасы и уровню наиболее высоких вершин Главной гряды, приближающихся по своей высоте к положению нижнесарматской абразионной террасы; 10—изопахиты наблюдаемых мощностей нижнесарматских отложений (с использованием данных З. Л. Маймизи).

пов формировались основные особенности современной гидрографической сети.

Новейшие тектонические движения в области Горного Кавказа унаследовали тенденцию к поднятиям, появляющуюся с верхнего мела. Однако в плиоцене и четвертичном периоде эти движения были особенно интенсивными и создали антиклинальную структуру — «свод», которому в рельфе соответствует поднятие Крымских гор. Новейшие движения, таким образом, привели здесь к горообразованию. Это обстоятельство позволяет выделять в геологической истории

Крыма самостоятельный и очень важный новейший этап, несмотря на то, что продолжительность его с точки зрения геологических масштабов очень незначительна.

Анализ фактического материала, а также сравнение палеотекто-

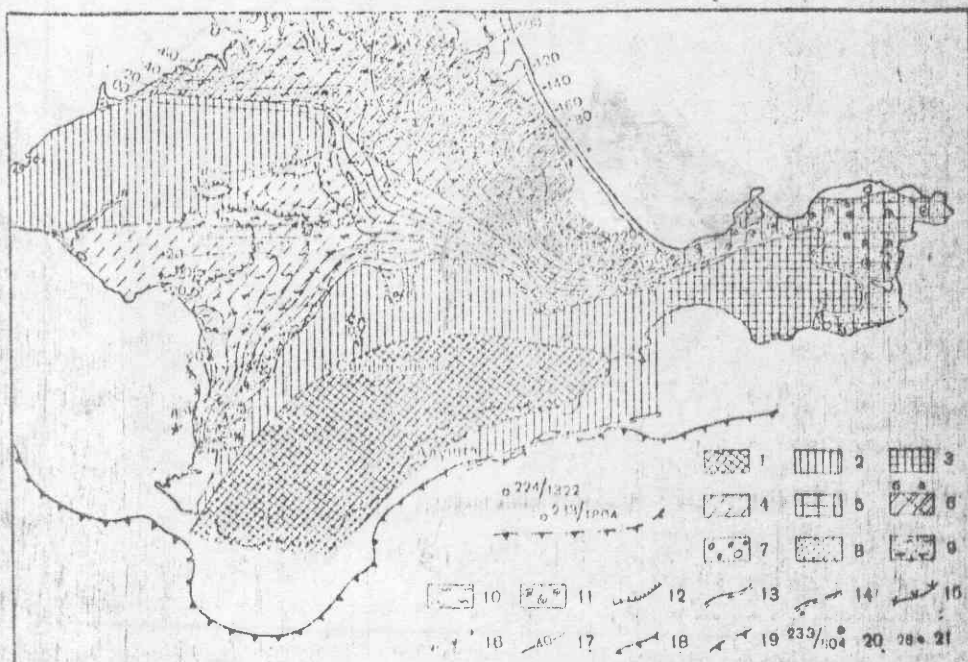


Рис. 2. Схема палеотектоники Крыма. Средний плиоцен:
 1—область денудации и интенсивных поднятий; 2—область сильных поднятий; 3—область слабых поднятий с проявлением куполовидной складчатости (Керченский полуостров); 4—область слабого прогибания и аккумуляции континентальных среднеплиоценовых отложений; 5—область куполовидной складчатости с преобладанием опусканий; 6—область интенсивного прогибания и аккумуляции морских киммерийских (а) и куяльницких (б) отложений; 7—галечники из гравий; 8—несколько глинистые отложения; 10—граница; 11—железные руды; 12—граница современного распространения континентальных среднеплиоценовых (таврических) отложений; 13—граница киммерийского бассейна; 14—предполагаемая граница киммерийского бассейна; 15—граница куяльницкого бассейна; 16—предполагаемая граница куяльницкого бассейна; 17—стратиграфии, проведенные по подошве среднеплиоценовых морских и континентальных отложений (в пределах впадин преимущественно покровле пойта, с использованием данных Е. А. Рицса); 18—граница современной материковой отмели; 19—тиютическая граница материковой отмели киммерийского бассейна (глубины не более 100–200 м, по А. Д. Архангельскому и И. М. Страхову [2]); 20—номера станций и глубины, на которых обнаружены фауны Черного моря мелководные отложения и фауна киммерийского возраста (по А. Д. Архангельскому и И. М. Страхову); 21—наблюдаемые в скважинах максимальные мощности среднего плиоцена (в метрах).

нических схем позволили сделать некоторые выводы о развитии новейших тектонических движений во времени.

В развитии водовых поднятий Горного Крыма можно выделить два основных типа: первый, охватывающий средний и верхний плиоцен, когда интенсивность поднятий постепенно возрастала и достигла максимума на границе верхнеплиоценовой и нижнетвертичной эпох,

и второй, охватывающий четвертичные периоды, в течение которых интенсивность поднятий ослабевала.

По геоморфологическим и геологическим данным, в пределах се-

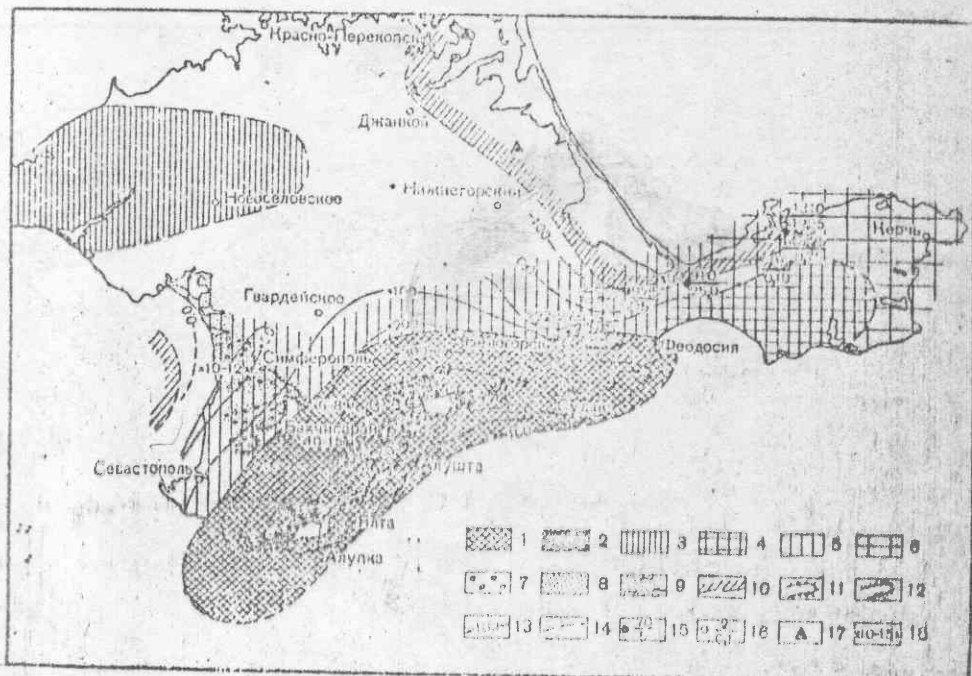


Рис. 3. Схема феотектоники Крыма. Верхний плиоцен:

1—область предполагаемых интенсивных сводовых поднятий и формирования эрозионного пологохолмистого рельефа; 2—сохранившиеся остатки эрозионного верхнеплиоценового рельефа; 3—область поднятий средней интенсивности и формирования промовальных предгорных поймов, срезающих различные горизонты среднеплиоценовых и более древних отложений; 4—область поднятий средней интенсивности с проявлением куполовидной складчатости; 5—область слабых поднятий и накопления мощного чехла промовальных отложений, застегающих с размытом на погребенных отложениях среднеплиоценового возраста; 6—область предполагаемого развития куполовидной складчатости с проявлением слабых дифференцированных движений различного знака; 7—глыбочки; 8—нески и алевриты; 9—песчано-глинистые отложения; 10—предполагаемая граница максимального распространения верхнеплиоценовых трангрессий (тимашской и гуринской); 11—современные очертания плоскогорий Главной гряды Крымских гор; 12—уступы верхнеплиоценовой террасы; 13—изолинии условной поверхности верхнеплиоценовой террасы, рисующие суммарные деформации за последующий период времени. Стратонозигматические соединяют точки высот верхнеплиоценовой террасы над дном основных речных долин (в метрах); 14—условные стратонозигмы; 15—скважины, вскрывшие морские таманские отложения. Числитель — глубина кровли от поверхности земли; знаменатель — мощность в метрах [18]; 16—скважины, вскрывшие морские гуринские отложения. Цифровые обозначения те же (по А. Г. Эберзину); 17—скважины, вскрывшие морские акчагыльские отложения (по К. И. Макову и Г. И. Молявко, 1940); 18—наблюдаемые мощности верхнего плиоцена в метрах.

верного крыла мегантиклинали Крымских гор устанавливается, происходившее начиная с сармата и до настоящего времени, постепенное расширение области, испытывающей преобладающие поднятия. Об этом можно судить, например, по изменению положения береговой ли-

иши морских бассейнов, отступивших из области Главной гряды до современного положения. В течение плиоцена и четвертичного периода в северном направлении сместились также фациальные зоны и

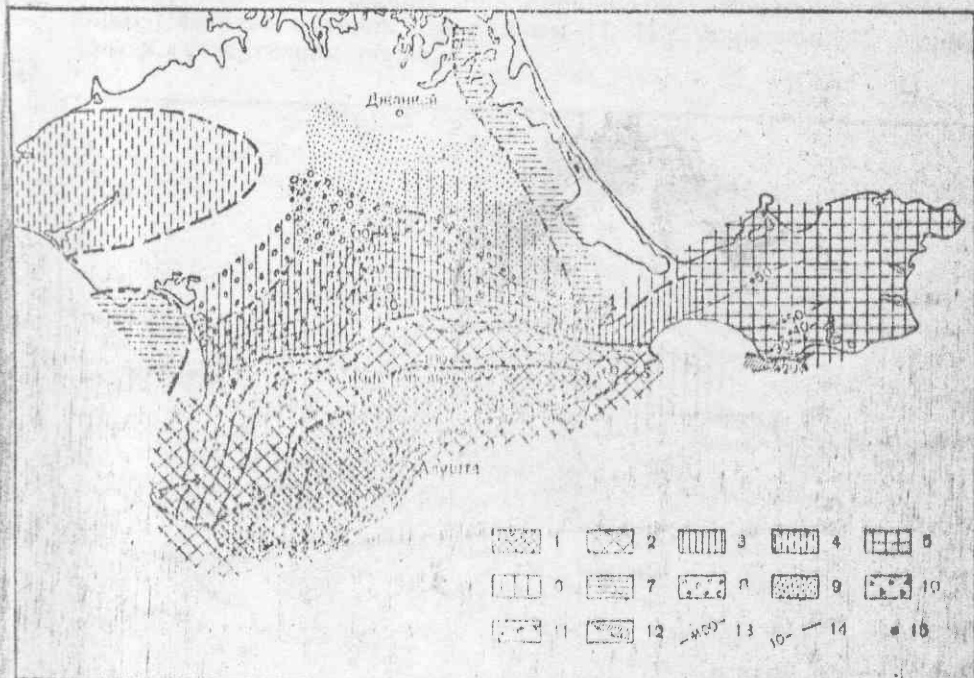


Рис. 4. Схема неотектоники Крыма. Нижнечетвертичный этап:
 1—область интенсивных сидовых поднятий и формирования низкогорно-эрозионного рельефа; 2—область интенсивных поднятий и формированиярезанных эрозионно-аккумулятивных террас; 3—область поднятий средней интенсивности и формирования аллювиально-пролювиальных предгорных шлейфов, срезающих различные горизонты верхнеплиоценовых и более древних отложений; 4—область поднятий средней интенсивности и денудации древних отложений; 5—область предполагаемого развития куполовидной складчатости, проявляющейся на фоне общих преобладающих поднятий средней интенсивности и денудации древних отложений; 6—область слабых поднятий и накопления аллювиально-пролювиальных отложений; 7—предполагаемая область слабых опусканий; 8—гравийно-галечные отложения; 9—песчано-глинистые отложения; 10—современное распространение нижнечетвертичных и верхнеплиоценовых (?) известняковых обвально-оползневых брекчий; 11—граница области интенсивного эрозионного расчленения Южного берега Крыма и проявления обвально-оползневых процессов; 12—предполагаемая граница максимального распространения чаудицкой транспрессии; 13—изолинии условной поверхности (нижнечетвертичной террасы), рисующие суммарные деформации за последующий период времени. Стратоизогипсы соединяют точки разных высот нижнечетвертичной террасы над дном осязных речных долин; 14—условные стратоизогипсы; 15—скважины, вскрывшие морские чаудинские слои [15].

границы между районами денудации и аккумуляции, поскольку об этом можно судить, исходя из анализа взаимоотношений террас и разновозрастных континентальных отложений, в особенности на участках, пограничных с Альминской и Индольской впадинами.

В пределах Керченского полуострова, представляющего в структурном отношении восточное переклинальное замыкание мегантикли-

нали Крымских гор, в течение неогена и четвертичного периода также происходили поднятия, наиболее интенсивно проявлявшиеся в юго-западной части. Развитие общих сводовых поднятий осложнено здесь проявлением складчатых движений, образованием куполовидных структур северо-восточного простирания, облекающих погружающееся ядро. Развитие складок, по данным Н. И. Андрусова [1], продолжалось в четвертичном периоде.

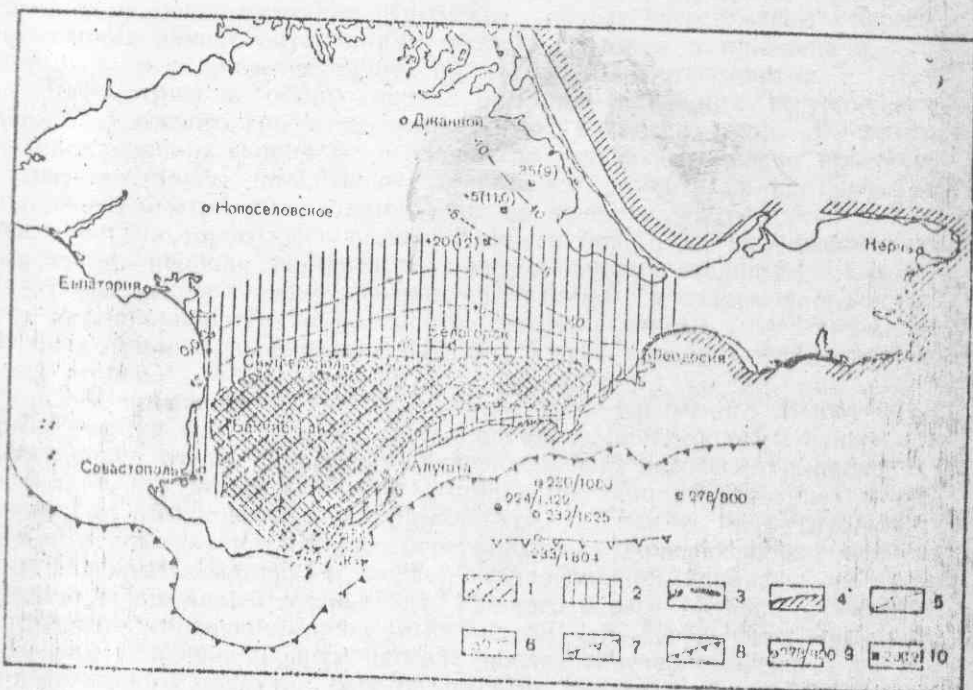


Рис. 5. Схема неотектоники Крыма. Верхнечетвертичный (карангатекий) этап:

1—область сводовых поднятий и формирования эрозионных и эрозионно-аккумулятивных террас; 2—область относительных омыканий и аккумулятивных алювиальных отложений; 3—морские карангатекие отложения; 4—предполагаемая граница карангатекого бассейна; 5—линии условной поверхности верхнечетвертичной террасы, рисующие суммарные деформации за последующий период. Стратоизометры соединяют точки разных высот верхнечетвертичной террасы над дном основных речных долин; 6—условные стратоизометры; 7—предполагаемая граница материковой отмели карангатекого бассейна; 8—граница современной материковой отмели; 9—номера станций и глубины, на которых обнаружены фауны Черного моря мелководные отложения и фауна узунларского (?) и карангатекого возраста [2]; 10—скважины, вскрывшие побережье алювиальные отложения верхнечетвертичного возраста. Числитель—абсолютная глубина кровли, знаменатель—мощность отложений.

Западное замыкание мегантиклинали Крымских гор отличается большим своеобразием. Направление береговой линии от мыса Кике-исиз до Гераклейского полуострова почти перпендикулярно общему простиранию структуры. Погружение свода не постепенное, как на востоке, а очень резкое. Область преобладающих поднятий, какой является Главная гряда, в прибрежной зоне заканчивается обрывами и переходит в материковую отмель, которая, по данным А. Д. Архангельского и Н. М. Страхова [2], испытывала опускания. Однако про-

должение мегантиклинали намечается выступом материевой отмели, достигающей здесь значительной ширины (около 30 км). Следует согласиться с мнением тех геологов, которые важную роль в формировании береговых форм и уступа Яйлы в крайней западной части побережья отводили новейшим разломам земной коры (Б. Ф. Добрыни, В. Н. Зенкович, Г. А. Лычагин, А. С. Моисеев и др.). Геоморфологические данные позволяют заключить, что в пределах западного замыкания мегантиклинали Крымских гор в четвертичном периоде происходил захват опусканиями области, которая в плиоцене и, может быть, в нижнечетвертичное время испытывала поднятие.

Рассмотрим в общих чертах историю новейших тектонических движений южного крыла мегантиклинали Крымских гор. В речных долинах южного склона от верхней до устьев прекрасно прослеживаются все ярусы четвертичных террас, хотя высота их над дном долин очень быстро уменьшается книзу по течению. Это обстоятельство указывает на то, что вся полоса Южного берега на протяжении четвертичного периода испытывала преобладающие поднятия. Опускания, по-видимому средние и верхнечетвертичного и современного возраста, устанавливаются по геоморфологическим данным и материалам бурения лишь в узкой полосе Южного берега в районе Ялты и к югу от нее.

Следует отметить, что береговые формы Крымского полуострова, точно так же как и многих других районов Черноморского побережья, носят яркие следы проявления новозеикской регрессии и последующей трангрессии, с развитием которой связано образование многочисленных лиманов, ингрессионных бухт, а также перегулбленных устьев речных долин Южного берега Крыма. Новоэвксинские отложения перекрыты аллювием первой надпойменной террасы, непосредственно переходящей в пределах Южного берега Крыма в морскую древнечерноморскую террасу высотой до 1,7–2,5 м, что говорит о развитии в течение современного (последнечерноморского) этапа относительного поднятия берегов на этих участках. Этот вывод о современных поднятиях большинства крымских берегов противоречит представлениям В. Н. Зенковича [6, 7] о длительных повсеместных опусканиях Черноморского побережья, которые в современную эпоху происходят лишь в замедленном темпе. Для северного склона Крымских гор (например, в области Второй гряды) величина поднятий за какой-либо один эрозионный этап примерно равна амплитуде суммарных поднятий за весь последующий период времени. На южном склоне эти величины совпадают лишь в верховьях рек в области Главной гряды, и чем ниже по течению долин, тем больше поднятия за более древние этапы превышают последующие суммарные движения. Другими словами, с каждым эрозионным циклом поднятие на Южном берегу Крыма проявляются значительно слабее, чем раньше, и в меньшей степени, чем в это же время на северном склоне Крымских гор. При сравнении высоты четвертичных террас в речных долинах северного и южного склонов Крымских гор выясняется, что области однозначных поднятий по обе стороны от некоторого максимума в пределах Главной гряды также сдвигаются на север с каждым из эрозионных этапов.

Таким образом, в течение четвертичного периода в Горном Крыму происходило постепенное смещение с юга на север области максимальных поднятий. Этот вывод хорошо согласуется с представлениями М. В. Муратова [11], А. Л. Архангельского и Н. М. Страхова [2] о

постепенном расширении глубоководной впадины Черного моря, проходившем за счет захвата краевых частей окружающих поднятий.

Развитие новейших тектонических структур и отдельных их элементов во времени имеет очень сложный характер. Изменяются интенсивность движений, их направленность и распределение на площади. В процессе формирования сводового поднятия Крымских гор происходило изменение общего плана тектонических движений. Как показывает анализ палеотектонических карт, эти изменения происходили в тесной связи с развитием структур второго порядка, поперечных по отношению к простиранию мегантиклиналии. Эти структуры представляют собой пологие и широкие антиклинальные и синклинальные складки, осложняющие северное крыло мегантиклиналии Крымских гор. Они устанавливаются по деформациям террас и поверхностей денудации. Заложение их происходит в эпоху развития интенсивных новейших тектонических поднятий Горного Крыма, причем в распределении структур на площа-ди, в особенности синклиналей, проявляется генетическая связь с древними разрывными нарушениями земной коры (например, в области Салгирского грабена и в восточном Крыму). Особенное значение приобрели поперечные структуры в верхнечетвертичном и современном этапах, когда дальнейшее их развитие привело к расчленению сводового поднятия Крымских гор на ряд дифференцированных зон, разделенных участками относительных опусканий.

На фоне общих сводовых поднятий Горного Крыма по-разному протекала история движений в прилегающих с севера впадинах. Индольский прогиб на протяжении четвертичного периода продолжал оставаться, как и в плиоцене, областью преобладающих интенсивных опусканий, поскольку смещавшиеся в постепенно расширяющейся сводовой поднятия и в настоящее время наиболее прогнутая в плиоцене ее часть (устье Альмы — Булганака) представляет собой крыло мегантиклиналии Крымских гор. Линия наибольшего прогибания отстоит в район Сак — Евпатории.

В пределах Тарханкутского полуострова на протяжении плиоцена — четвертичного периода проявлялись устойчивые сводовые поднятия средней интенсивности.

Об общей направленности тектонических движений современного этапа (Q_4) можно судить, изучая деформации, которые претерпели уровни первой надпойменной и пойменных террас. Область максимальных современных поднятий Горного Крыма имеет довольно неправильную форму и вытянута с запада на восток (рис. 6). Наибольшей ширины она достигает на западе между Бахчисараем и Гурзуфом и постепенно сужается в восточном направлении. Кроме того, в некоторых районах ширина ее резко сокращается за счет поперечных синклинальных изгибов мегантиклиналии (например, в верхнем течении рек Салгира и Танаца, где высота первой надпойменной террасы относительно понижена, наоборот, мощность аллювия сильно возрастает и терраса имеет аккумулятивное строение).

Геоморфологические наблюдения в Крыму почти повсеместно указывают на проявляющиеся в течение современного (последчехерногорского) этапа относительные поднятия побережья. Об этом говорит совокупность многих признаков: формирование древнечерноморских и современных морских террас и пляжей, отступание береговой линии в сторону моря (юго-восточное Присивашье), затуха-

ние абразионной и оползневой деятельности и другие факты. Однако поднятия берегов отмечаются не повсеместно, для некоторых локальных участков имеются признаки современных опусканий. Одним из таких районов является прибрежная полоса между Ялтой и Симеизом. С современными опусканиями, в частности, связано интенсивное

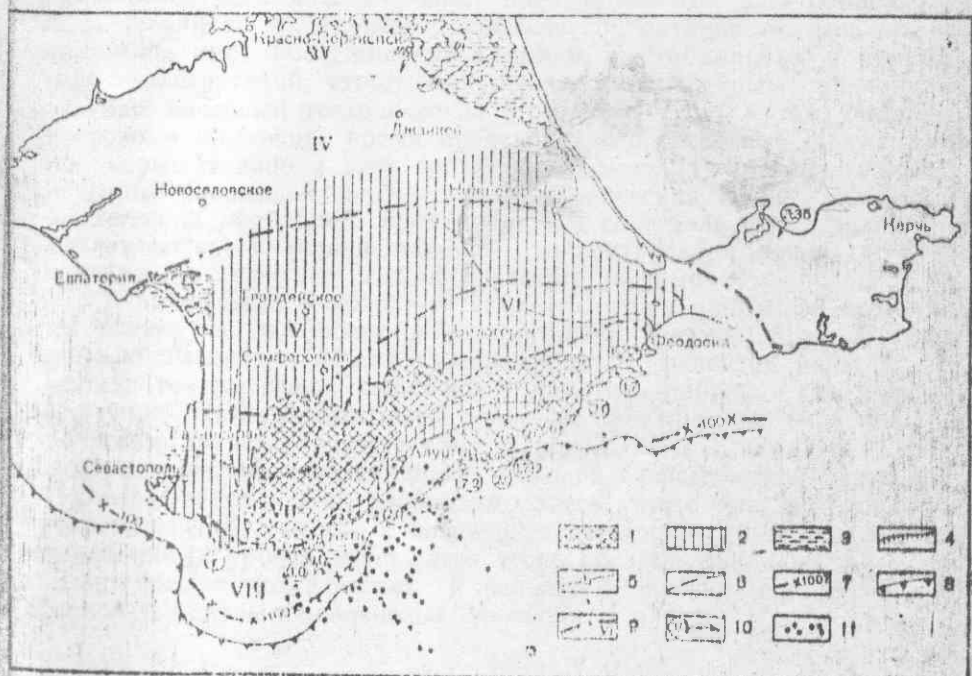


Рис. 6. Схема неотектоники Крыма. Современный этап:
 1—область относительных поднятий и формирования цокольной аллювиальной террасы древнечерноморского возраста; 2—область слабых поднятий и формирования аккумулятивной террасы; 3—область с проявлением разных геоморфологических признаков современных опусканий; 4—граница древнечерноморского бассейна в пределах Южного побережья Крыма; 5—изолинии условной поверхности древнечерноморской аллювиальной террасы, рисующие деформации за последующий период. Стратоноглины соединяют точки равных высот древнечерноморской террасы над дном основных речных долин; 6—условные стратоизопотисы; 7—условные изокатабазы предполагаемых суммарных опусканий морского дна относительно уровня моря за последдревнечерноморский период; 8—граница современной материковой отмели; 9—границы сейсмических зон с проявлением землетрясений различной балльности, указанной римскими цифрами (по Г. П. Горникову); 10—местоположение и высота относительно уровня моря древнечерноморской морской террасы; 11—эндемиты крымских землетрясений с 1928 по 1941 г. (по А. Я. Леницкой)

развитие здесь оползневых процессов. Другой район — западная оконечность Гераклейского полуострова к югу от Севастополя. Наконец, признаки современных опусканий установлены для северо-восточного Присивашья (Е. В. Львова) и в районе оз. Сасык близ Евпатории [8].

О продолжающихся в настоящее время интенсивных движениях земной коры в пределах Крымского полуострова свидетельствует его высокая сейсмичность. Наиболее активной является область проявления контрастных движений земной коры. Она охватывает полосу

Южного берега Крыма, материковую отмель и континентальный склон, где в непосредственной близости проявляются поднятия Горного Крыма и интенсивные опускания краевой части глубоководной впадины Черного моря.

Чрезвычайно интересна наблюдающаяся четкая взаимосвязь между очертаниями области максимальных поднятий Горного Крыма и границами сейсмических зон, показанных Г. П. Горшковым и А. Я. Левицкой [4]. Усиление сейсмической активности, выясняющееся, например, при прослеживании границы шестибалльных и семибалльных землетрясений, строго приурочено к поперечным синклинальным изгибам новейшей тектонической структуры, т. е. к тем участкам, в которых в настоящее время происходят относительные опускания земной коры. Именно в этих зонах проводятся [4] предполагаемые поперечные разрывные нарушения, тектоническая жизнь которых проявляется до настоящего времени, о чем свидетельствует целая группа землетрясений с меридиональной эпицентральной зоной и сопутствующие им изменения гидрологического режима источников.

В заключение необходимо отметить, что в настоящее время решены далеко не все вопросы неотектоники Крыма. Можно говорить лишь о выявлении общих закономерностей развития рельефа и новейших тектонических движений и наметить районы, где дальнейшее изучение неотектоники имеет важное практическое значение. Такой областью является прежде всего Южный берег Крыма и Гераклейский полуостров, отличающиеся высокой сейсмической активностью. Изучение неотектоники необходимо здесь также для инженерно-геологических целей, так как с новейшими тектоническими движениями и колебаниями уровня моря здесь тесно связана цикличность в проявлении физико-геологических и рельефообразующих процессов: абразионных, обвально-оползневых, эрозионных и т. д.

ЛИТЕРАТУРА

1. Лялрусов И. И. Террасы Судака. Зап. Киевск. о-ва естествозн., т. 22, вып. 2, 1912.
2. Архангельский А. Д. и Страхов И. М. Геологическое строение и история развития Черного моря. Изд-во АН СССР, М., 1938.
3. Бабак В. И. Стратиграфия новейших континентальных отложений и основные черты неотектоники Крыма. Тез. докл. Всеес. межвед. совета по геол. четверти, пер. (16—17. V 1957), секц. Карпат, Крыма и Кавказа. М., 1957.
4. Горшков Г. П. и Левицкая А. Я. Некоторые данные по сейсмотектонике Крыма. Бюл. Моск. о-ва испыт. природы отд. геол., т. XII, вып. 3, 1947.
5. Диккенштейн Г. К. Тектоника Степного и Предгорного Крыма. Сб. геологии, № 59, 1957.
6. Зенкович В. П. Берега Черного и Азовского морей. География, М., 1958.
7. Зенкович В. П. Морфология и динамика советских берегов Черного моря, т. 1. Изд-во АН СССР, М., 1958.
8. Имчагин Г. А. Современные тектонические движения на западном побережье Крыма. Бюл. Моск. о-ва испыт. природы, отд. геол., т. XXXIII, вып. 3, 1958.
9. Муратов М. В. Новейшие тектонические движения земной коры в горном Крыму и прилегающей части Черного моря. Сб. Памяти акад. А. Д. Архангельского. Изд-во АН СССР, М., 1951.
10. Муратов М. В. О миоценовой и плиоценовой истории развития Крымского полуострова. Бюл. Моск. о-ва испыт. природы, отд. геол., т. XXXIX, вып. 1, 1954.
11. Муратов М. В. История тектонического развития глубокой впадины Черного моря и ее возможное происхождение. Бюл. Моск. о-ва испыт. природы, отд. геол., т. XXX, вып. 5, 1955.
12. Муратов М. В. и Николаев Н. И. Террасы Горного Крыма. Бюл. Моск. о-ва испыт. природы, отд. геол., т. XVII, вып. 1, 1939.

13. Муратов М. В. и Николаев И. И. Четвертичная история и развитие рельефа Горного Крыма. Уп. зон. Моск. ун-та, вып. 48, 1941.
14. Николаев И. И. О возрасте рельефа Горного Крыма. Бюл. Комис. по руч. четвертичн. пер., № 8, 1946.
15. Попов Г. И. О возрасте и генезисе скифских глин юга Европейской части СССР. Тр. Новороссийск. политехн. ин-та, т. 17, геол.-разв. часть, 1948.
16. Попов Г. И. История Мамынского пролива в связи со стратиграфией первоморских и каспийских четвертичных отложений. Бюл. Моск. о-ва испыт. природы, отд. геол., т. ХХХ, вып. 2, 1955.
17. Федорович В. А. К вопросу о террасах в долинах рек Качи и Алмы в Крыму. Изв. АН СССР, сер. 7, 1929.
18. Эбердин А. Г. Средний и верхний плиоцен Черноморской области. Стратиграфия СССР, т. XII, Неоген. Изд-во АН СССР, М., 1940.

A BRIEF ACCOUNT OF THE NEOTECTONICS OF THE CRIMEA

V. I. Babak

The paper reveals new data concerning the geomorphology and the stratigraphy of the Pliocene and Quarternary continental deposits of the Rocky region of the Crimea pointing to the complex history of development of the latest tectonic movements within this region. The author draws conclusions concerning the gradual shift of the area of maximal upheaval in the Rocky region of the Crimea as well as concerning the axis of the utmost sagging of the depressions adjacent from the north in the northwest direction throughout the Neogen and Quarternary period; consideration is devoted to the dismemberment of the arched upheaval of the Crimean mountains throughout the process of its formation into several differentiated zones separated by sections of relative fallings.